

时间序列分析与R 语言实战

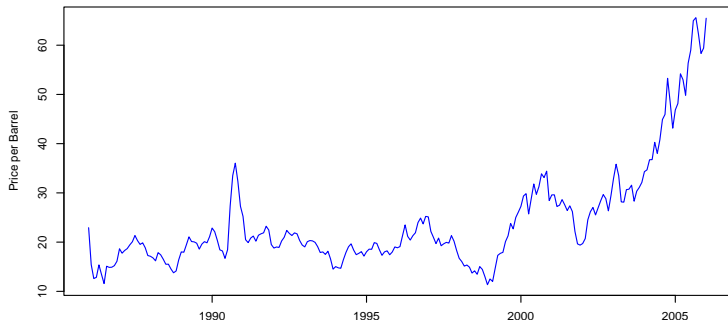
第五章：非平稳时间序列（一）

- ① 非平稳时间序列案例
- ② 平稳序列与非平稳序列的比较
 - 统计属性
 - 图形特征
- ③ 趋势
 - 确定趋势
 - 随机趋势

- ① 非平稳时间序列案例
- ② 平稳序列与非平稳序列的比较
 - 统计属性
 - 图形特征
- ③ 趋势
 - 确定趋势
 - 随机趋势

非平稳时间序列案例

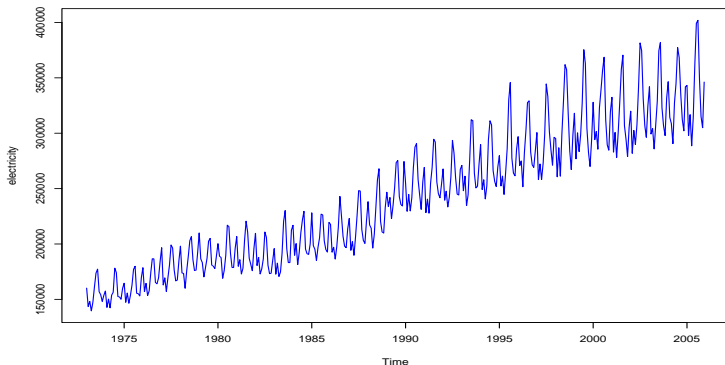
例 5.1: 1986 年 1 月到 2006 年 1 月, 每桶原油的月度价格时间序列图



```
> win.graph(width=4.875,height=3,pointsize=8)
> data(oil.price)
> plot(oil.price, ylab='Price per Barrel',type='l')
```

非平稳时间序列案例

例 5.2: 1973 年 1 月到 2005 年 12 月，美国月度发电量的时间序列图

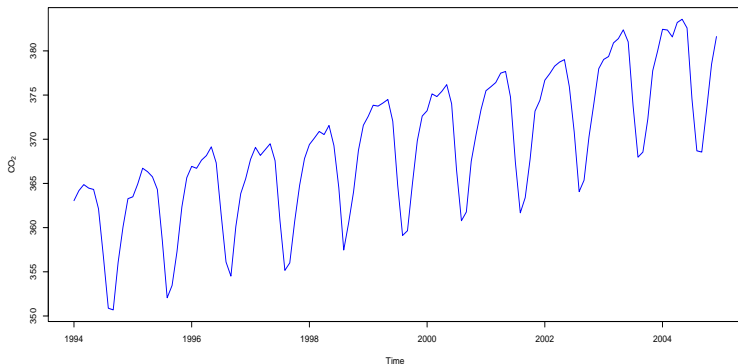


```
> data(electricity); plot(electricity)
```

非平稳时间序列案例

例 5.3: 1994 年 1 月到 2004 年 12 月, 加拿大 Alert 月度 CO_2 水平的时间序列图

```
> data(co2); plot(co2);
```



- ① 非平稳时间序列案例
- ② 平稳序列与非平稳序列的比较
 - 统计属性
 - 图形特征
- ③ 趋势
 - 确定性趋势
 - 随机趋势

- ① 非平稳时间序列案例
- ② 平稳序列与非平稳序列的比较
 - 统计属性
 - 图形特征
- ③ 趋势
 - 确定性趋势
 - 随机趋势

统计属性上的比较

平稳时间序列：

- 均值为常数，序列围绕均值上下波动
- 自协方差只依赖于时间间隔
- 多数平稳序列，随滞后项的增加，自相关函数迅速衰减

非平稳时间序列：

- 或不具有固定的均值
- 或自协方差不只依赖于时间间隔
- 随滞后项的增加，自相关函数通常不会迅速衰减

统计属性上的比较

模型:

$$Y_t = \phi Y_{t-1} + e_t$$

假设 $Y_0 = 0$ 为初始条件。

- $|\phi| < 1$ 时, 序列 $\{Y_t\}$ 平稳。
- $|\phi| = 1$ 时,

$$Y_t = e_t + e_{t-1} + e_{t-2} + \cdots + e_1$$

随机游动过程:

$$E(Y_t) = 0$$

$$\text{Var}(Y_t) = t\sigma_e^2$$

$$\gamma_{t,s} = t\sigma_e^2, 1 \leq t \leq s$$

因此, $\{Y_t\}$ 是非平稳序列。

统计属性上的比较

模型:

$$Y_t = \phi Y_{t-1} + e_t$$

假设 $Y_0 = 0$ 为初始条件。

- 考虑 $|\phi| > 1$ 的情况, 不妨取 $\phi = 3$, 可得:

$$Y_t = e_t + 3e_{t-1} + 3^2e_{t-2} + \cdots + 3^{t-1}e_1 + 3^tY_0$$

即,

$$Y_t = e_t + 3e_{t-1} + 3^2e_{t-2} + \cdots + 3^{t-1}e_1$$

从而:

$$E(Y_t) = 0$$

$$\text{Var}(Y_t) = \frac{1}{8}(9^t - 1)\sigma_e^2$$

$$\text{Cov}(Y_t, Y_{t-k}) = \frac{3^k}{8}(9^{t-k} - 1)\sigma_e^2$$

因此, $\{Y_t\}$ 是非平稳序列。

- ① 非平稳时间序列案例
- ② 平稳序列与非平稳序列的比较
 - 统计属性
 - 图形特征
- ③ 趋势
 - 确定性趋势
 - 随机趋势

图像特征上的比较

平稳时间序列：

- 无明显的趋势和周期性
- 多数平稳序列，样本自相关函数 ACF 呈指数衰减或截尾

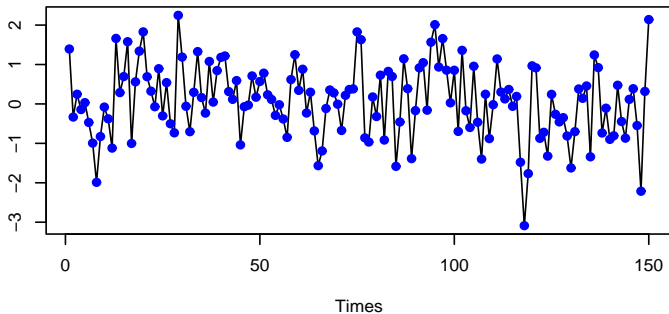
非平稳时间序列：

- 可观察到明显的趋势或周期性
- 非平稳序列，样本自相关函数 ACF 一般缓慢衰减

图像特征上的比较：平稳序列

平稳序列：

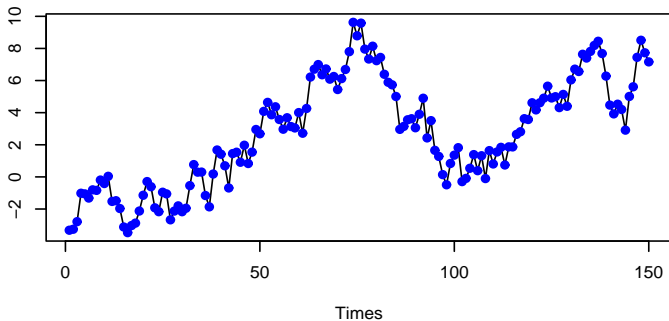
$$Y_t = \phi Y_{t-1} + e_t, \quad \phi = 0.3$$



图像特征上的比较：平稳序列

平稳序列：

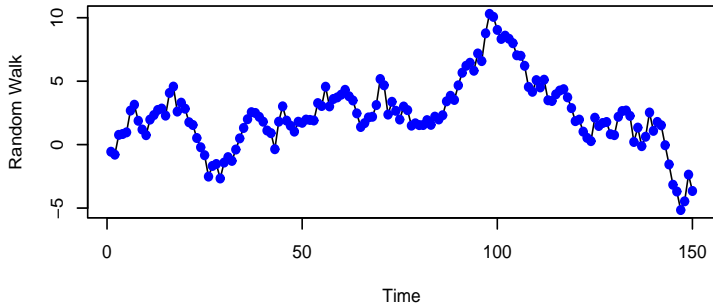
$$Y_t = \phi Y_{t-1} + e_t, \quad \phi = 0.98$$



图像特征上的比较：非平稳序列

非平稳序列：

$$Y_t = Y_{t-1} + e_t$$

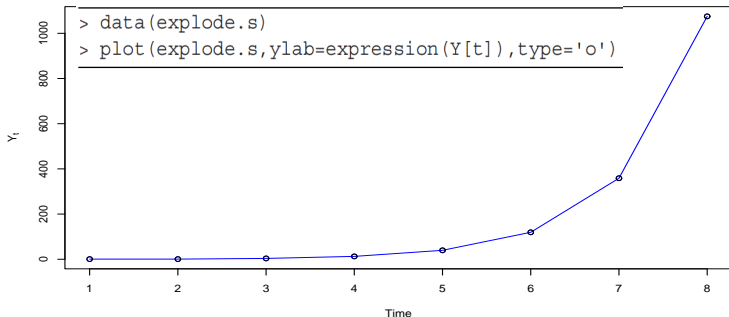


图像特征上的比较：非平稳序列

爆炸式增长：

$$Y_t = 3Y_{t-1} + e_t$$

t	1	2	3	4	5	6	7	8
e_t	0.63	-1.25	1.80	1.51	1.56	0.62	0.64	-0.98
Y_t	0.63	0.64	3.72	12.67	39.57	119.32	358.60	1075.00



- ① 非平稳时间序列案例
- ② 平稳序列与非平稳序列的比较
 - 统计属性
 - 图形特征
- ③ 趋势
 - 确定趋势
 - 随机趋势

- ① 非平稳时间序列案例
- ② 平稳序列与非平稳序列的比较
 - 统计属性
 - 图形特征
- ③ 趋势
 - 确定趋势
 - 随机趋势

确定趋势

回顾：具有时变均值的任何时间序列都是非平稳的，如第三章中的

$$Y_t = \mu_t + X_t$$

例：

- 线性趋势：

$$\mu_t = \beta_0 + \beta_1 t$$

- 二次趋势

$$\mu_t = \beta_0 + \beta_1 t + \beta_2 t^2$$

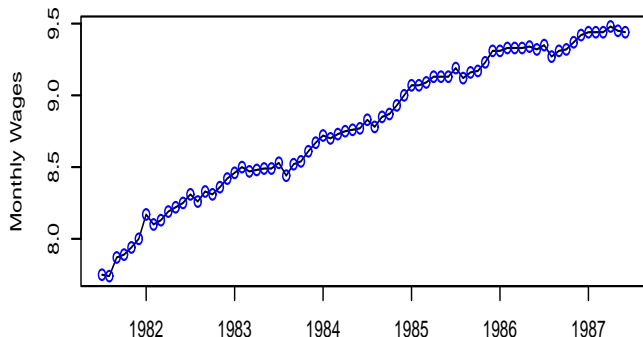
- 余弦趋势

$$\mu_t = \beta \cos(2\pi f t + \Phi)$$

注： 仅当有理由相信该确定性趋势“永远”是恰当时，才认为该模型是合理的。

确定趋势

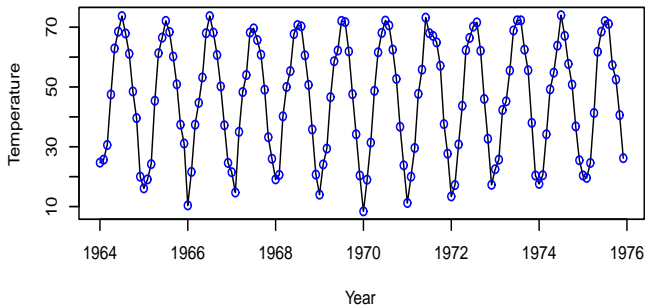
例 3.5: 程序包TSA 中的数据文件 *wages*, 包含1981.07—1987.06期间, 美国服装和纺织品行业公认的平均时薪, 单位为以美元计的月度值。



```
> win.graph(width=4.875, height=2.5, pointsize=8)
> data(wages); plot(wages, type='l', ylab='wages')
> points(wages, col='blue')
```

确定趋势

例 3.2: Dubuque月平均气温的时间序列图



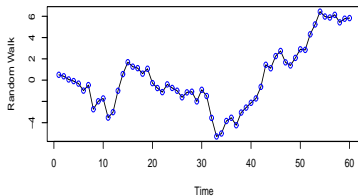
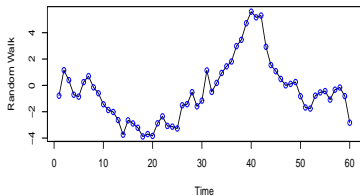
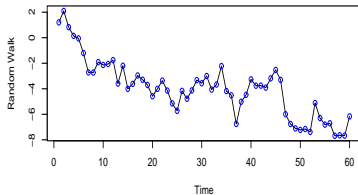
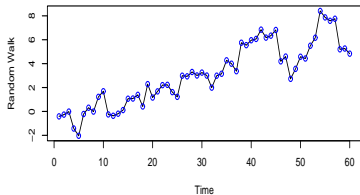
```
> data(tempdub)
> plot(tempdub, ylab='Temperature')
```

- ① 非平稳时间序列案例
- ② 平稳序列与非平稳序列的比较
 - 统计属性
 - 图形特征
- ③ 趋势
 - 确定趋势
 - 随机趋势

随机趋势

随机游动过程不含任何确定性趋势：

$$Y_t = Y_{t-1} + e_t$$



时间序列分析与R 语言实战

第五章：非平稳时间序列（二）：平稳化方法

Outline

- ① 差分
- ② 对数变换
- ③ 幂变换

Outline

- ① 差分
- ② 对数变换
- ③ 幂变换

差分：一阶差分

随机游动过程：

$$Y_t = Y_{t-1} + e_t$$

- 可重新表达为

$$Y_t - Y_{t-1} = e_t$$

- 记 $\nabla Y_t = Y_t - Y_{t-1}$ ，则

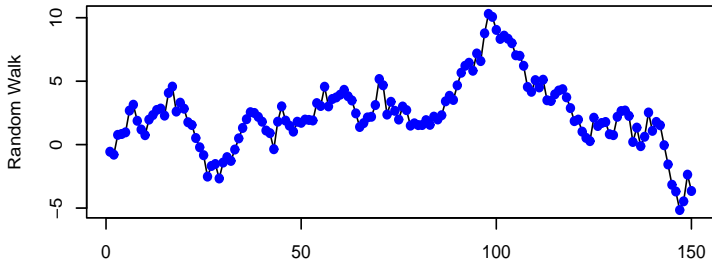
$$\nabla Y_t = e_t$$

- 称 ∇Y_t 为 Y_t 的一阶差分，序列 $\{\nabla Y_t\}$ 是平稳的

差分：一阶差分

随机游动过程：

$$Y_t = Y_{t-1} + e_t$$

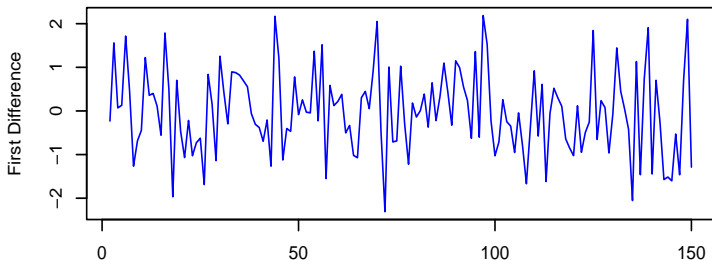


```
> data(rwalk)
> win.graph(width=8, height=6, pointsize=8)
> plot(rwalk, type='o', ylab='Random Walk')
```

差分：一阶差分

随机游动过程的一阶差分：

$$\nabla Y_t = e_t$$



```
> data(rwalk)
> win.graph(width=8, height=6, pointsize=8)
> plot(diff(rwalk), type='l', ylab='First Difference')
```

差分：一阶差分

模型：

$$Y_t = M_t + X_t$$

其中 M_t 随时间缓慢变化， X_t 是零均值平稳序列。

- **M_t 是确定的：** 假设 M_t 在每两个连续时间点内几乎是不变的。以 $\beta_{0,t}$ 作为 t 时刻的 M_t 估计值，

$$\min_{\beta_{0,t}} \sum_{j=0}^1 (Y_{t-j} - \beta_{0,t})^2$$

$$\text{记 } J_1 = \sum_{j=0}^1 (Y_{t-j} - \beta_{0,t})^2,$$

$$\frac{\partial J_1(\beta_{0,t})}{\partial \beta_{0,t}} = -2 \sum_{j=0}^1 (Y_{t-j} - \beta_{0,t}) = 0$$

$$\implies \beta_{0,t} = \frac{1}{2}(Y_t + Y_{t-1})$$

差分：一阶差分

- M_t 估计值:

$$\hat{M}_t = \frac{1}{2}(Y_t + Y_{t-1})$$

- 去趋势:

$$\begin{aligned} Y_t - \hat{M}_t &= Y_t - \frac{1}{2}(Y_t + Y_{t-1}) \\ &= \frac{1}{2}(Y_t - Y_{t-1}) \\ &= \frac{1}{2}\nabla Y_t \end{aligned}$$

- 模型可重新表达为:

$$\nabla Y_t = 2X_t$$

差分：一阶差分

- **M_t 是随机的**：假设 M_t 序列由随机游动模型支配的，且随时间缓慢变化。例：

$$Y_t = M_t + e_t, \quad M_t = M_{t-1} + \varepsilon_t$$

其中，序列 $\{e_t\}$ 和 $\{\varepsilon_t\}$ 为白噪声，相互独立。

$$\nabla Y_t = \nabla M_t + \nabla e_t = \varepsilon_t + e_t - e_{t-1}$$

- 方差：

$$\text{Var}(\nabla Y_t) = \sigma_\varepsilon^2 + 2\sigma_e^2$$

- 协方差：

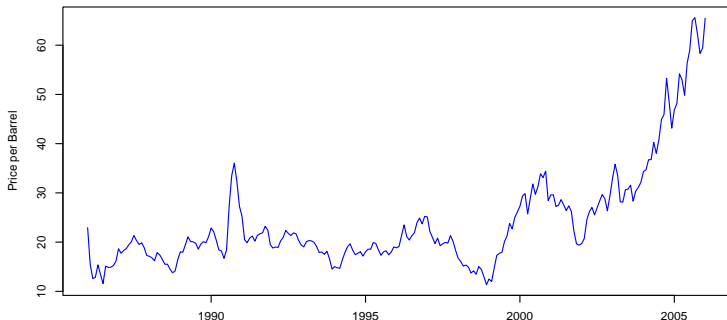
$$\gamma_k = \begin{cases} -\sigma_e^2 & k = 1 \\ 0 & k \geq 2 \end{cases}$$

- 自相关函数：

$$\rho_k = \begin{cases} -\frac{1}{2 + \sigma_\varepsilon^2/\sigma_e^2} & k = 1 \\ 0 & k \geq 2 \end{cases}$$

一阶差分：石油价格序列

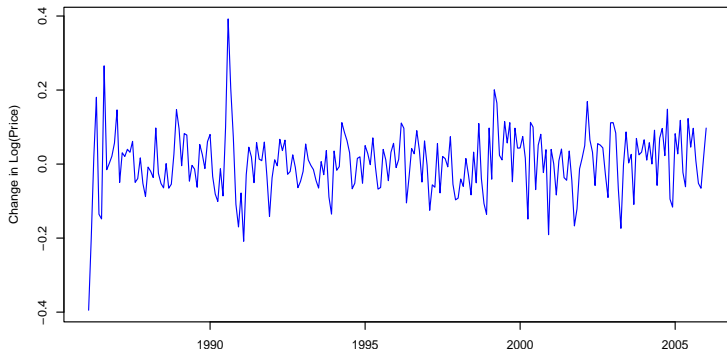
例 5.1：1986 年 1 月到 2006 年 1 月，每桶原油的月度价格时间序列图



```
data("oil.price")  
win.graph(width=6, height=3, pointsize=8)  
plot(oil.price, ylab='Price Barrel', type='l')
```

一阶差分：石油价格序列

石油价格序列取对数之后再行差分所得时间序列图



```
> data("oil.price")
> win.graph(width=8, height=6, pointsize=8)
> plot(diff(log(oil.price)), ylab='Change in Log(Price)')
> abline(h=0, col='red')
```

差分：二阶差分

模型：

$$Y_t = M_t + X_t$$

- M_t 是确定的：假设 M_t 在时域的三个连续时间点上为线性的。以 $\beta_{0,t} + j\beta_{1,t}$ 作为 $t+j$ 时刻的 M_{t+j} 估计值，

$$\min \sum_{j=-1}^1 (Y_{t+j} - (\beta_{0,t} + j\beta_{1,t}))^2$$

$$\text{记 } J_2 = \sum_{j=-1}^1 (Y_{t+j} - (\beta_{0,t} + j\beta_{1,t}))^2,$$

$$\frac{\partial J_2(\beta_{0,t})}{\partial \beta_{0,t}} = -2 \sum_{j=-1}^1 (Y_{t+j} - (\beta_{0,t} + j\beta_{1,t})) = 0$$

$$\implies \beta_{0,t} = \frac{1}{3}(Y_{t-1} + Y_t + Y_{t+1})$$

差分：二阶差分

- M_t 估计值:

$$\hat{M}_t = \frac{1}{3}(Y_{t+1} + Y_t + Y_{t-1})$$

- 去趋势:

$$\begin{aligned} Y_t - \hat{M}_t &= Y_t - \frac{1}{3}(Y_{t+1} + Y_t + Y_{t-1}) \\ &= -\frac{1}{3}(Y_{t+1} - 2Y_t + Y_{t-1}) \\ &= -\frac{1}{3}\nabla(\nabla Y_{t+1}) \\ &= -\frac{1}{3}\nabla^2 Y_{t+1} \end{aligned}$$

- 模型可重新表达为:

$$\nabla^2 Y_{t+1} = -3X_t$$

差分：二阶差分

- M_t 是随机的： 例：

$$Y_t = M_t + e_t, \quad M_t = M_{t-1} + W_t, \quad W_t = W_{t-1} + \varepsilon_t$$

其中，序列 $\{e_t\}$ 和 $\{\varepsilon_t\}$ 为白噪声，相互独立。

- 一阶差分

$$\nabla Y_t = \nabla M_t + \nabla e_t = W_t + \nabla e_t$$

- 二阶差分

$$\begin{aligned}\nabla^2 Y_t &= \nabla W_t + \nabla^2 e_t \\ &= \varepsilon_t + (e_t - e_{t-1}) - (e_{t-1} - e_{t-2}) \\ &= \varepsilon_t + e_t - 2e_{t-1} + e_{t-2}\end{aligned}$$

差分：二阶差分

序列 $\{\nabla^2 Y_t\}$,

- 方差:

$$\text{Var}(\nabla^2 Y_t) = \sigma_\varepsilon^2 + 6\sigma_e^2$$

- 协方差:

$$\gamma_k = \begin{cases} -4\sigma_e^2 & k = 1 \\ -\sigma_e^2 & k = 2 \\ 0 & k \geq 3 \end{cases}$$

- 自相关函数:

$$\rho_k = \begin{cases} -\frac{4}{6 + \sigma_\varepsilon^2/\sigma_e^2} & k = 1 \\ -\frac{1}{6 + \sigma_\varepsilon^2/\sigma_e^2} & k = 2 \\ 0 & k \geq 3 \end{cases}$$

Outline

- ① 差分
- ② 对数变换
- ③ 幂变换

对数变换：泰勒展开

泰勒公式

若 $f(x)$ 在 $x = x_0$ 邻域处任意可导，则

$$f(x) = f(x_0) + \frac{f'(x_0)}{1!}(x-x_0) + \frac{f''(x_0)}{2!}(x-x_0)^2 + \cdots + \frac{f^{(n)}(x_0)}{n!}(x-x_0)^n + R_n(x)$$

其中 R_n 是泰勒公式的余项，即 $(x-x_0)^n$ 的高阶无穷小

例：求 $f(x) = \log(1+x)$ 在 $x_0 = 0$ 处的展开式。

$$f(x_0) = 0, \quad f'(x_0) = \frac{1}{1+x_0} = 1, \dots, \quad f^{(n)}(x_0) = (-1)^{n-1}(n-1)! \frac{1}{(1+x_0)^n}$$

则，

$$f(x) = x - \frac{1}{2}x^2 + \frac{1}{3}x^3 + o(x^3)$$

对数变换

序列的散度变大，与序列值的增加有关。

例：假设对任意 t ， $Y_t > 0$,

$$E(Y_t) = \mu_t, \quad \sqrt{\text{Var}(Y_t)} = \mu_t \sigma$$

$\log(Y_t)$ 在 μ_t 处的泰勒展开：

$$\log(Y_t) \approx \log(\mu_t) + \frac{Y_t - \mu_t}{\mu_t}$$

则：

$$E[\log(Y_t)] \approx \log(\mu_t), \quad \text{Var}[\log(Y_t)] \approx \sigma^2$$

对数变换

从一个时刻到下一个时刻， Y_t 趋于相对稳定的百分比变化，

$$Y_t = (1 + X_t)Y_{t-1}$$

其中， $100X_t$ 即相应的百分比。

$$\log(Y_t) - \log(Y_{t-1}) = \log\left(\frac{Y_t}{Y_{t-1}}\right) = \log(1 + X_t)$$

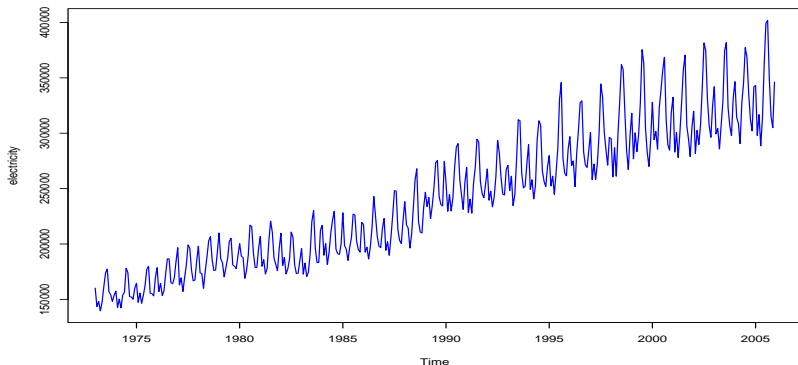
例：若 $|X_t| < 0.2$ ，则 $\log(1 + X_t) \approx X_t$ ，于是

$$\nabla[\log(Y_t)] \approx X_t$$

注：金融中，自然对数差分通常称为收益率。

对数变换：美国月度发电量序列

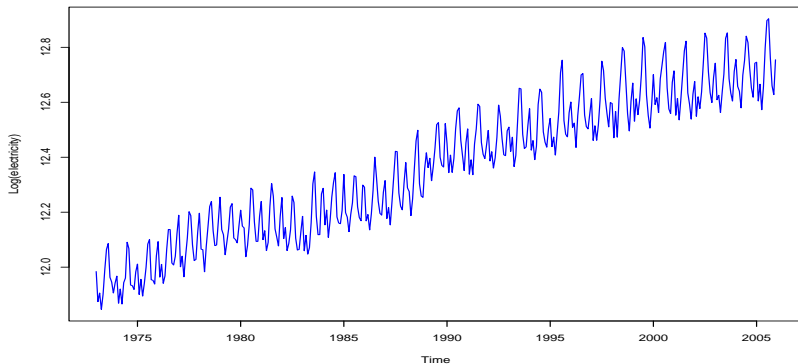
例 5.2：1973 年 1 月到 2005 年 12 月，美国月度发电量的时间序列图



```
> data(electr i c i t y); plot(electr i c i t y)
```

对数变换：美国月度发电量序列

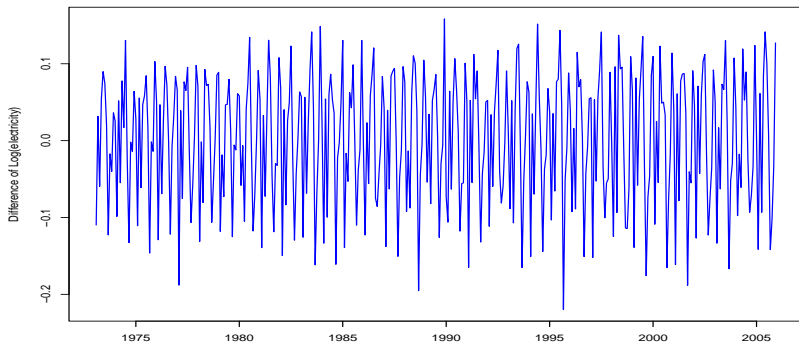
美国月度发电量取对数之后的时间序列图



```
> plot(log(electricity), ylab='Log(electricity)')
```

对数变换：美国月度发电量序列

美国月度发电量取对数之后再进行差分所得时间序列图



```
plot(diff(log(electricity)),  
      ylab='Difference of Log(electricity)')
```

Outline

- ① 差分
- ② 对数变换
- ③ 幂变换

幂变换

Box-Cox 变换

给定参数 λ ，变换为

$$g(x) = \begin{cases} \frac{x^\lambda - 1}{\lambda} & \lambda \neq 0 \\ \log x & \lambda = 0 \end{cases}$$

特别的， $\lambda \rightarrow 0$ 时， $g(x)$ 平滑变化。

证明 $\lambda \rightarrow 0$ 时， $\frac{x^\lambda - 1}{\lambda} \rightarrow \log x$ ：

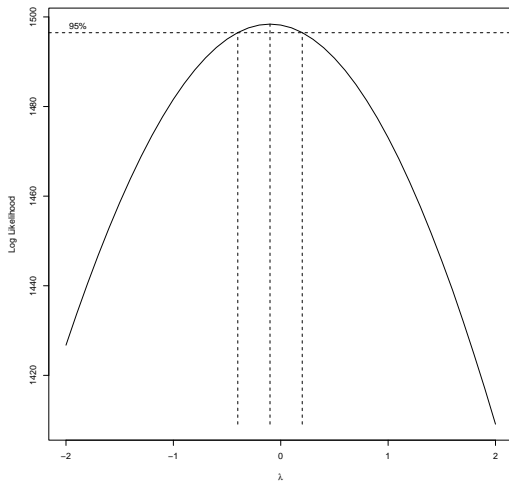
$$\lim_{\lambda \rightarrow 0} \frac{x^\lambda - 1}{\lambda} = \lim_{\lambda \rightarrow 0} \frac{\frac{d}{d\lambda}(x^\lambda - 1)}{\frac{d\lambda}{d\lambda}} = \lim_{\lambda \rightarrow 0} \frac{x^\lambda \log(x)}{1} = \log x$$

其中， $x^\lambda - 1 = e^{\lambda \log x} - 1$ 。

幂变换：美国月度发电量

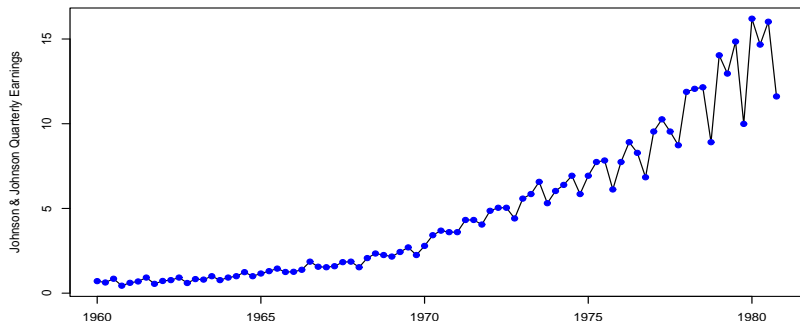
对美国月度发电量序列计算 λ

```
> BoxCox.ar(electricity)
```



幂变换：强生公司股票收益

例 5.4：1960 年到 1980 年，强生公司股票收益的季度数据序列

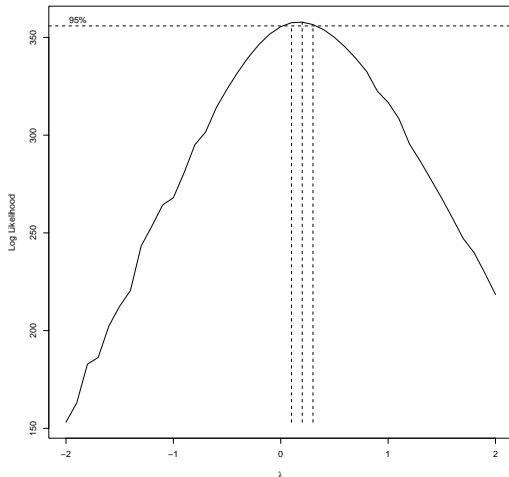


```
>data(JJ); win.graph(width=7, height=4, pointsize=8)
>plot(JJ,ylab='Johnson & Johnson Quartly Earnings',
      xlab='Times', type='l')
>points(JJ,col='blue',type='p',pch=19)
```

幂变换：强生公司股票收益

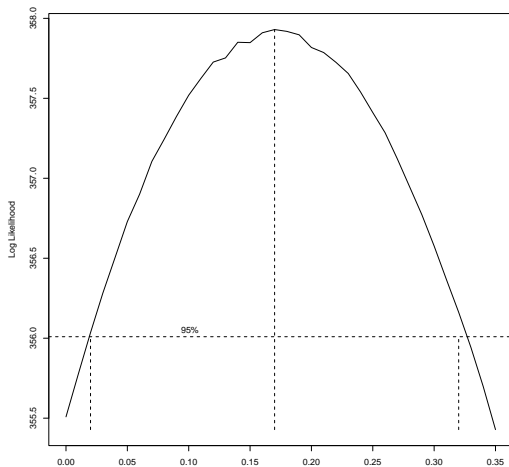
画图，确定幂变换最优 λ 区间 $[0.02, 0.32]$ 。

```
> BoxCox.ar(JJ)
```



幂变换：强生公司股票收益

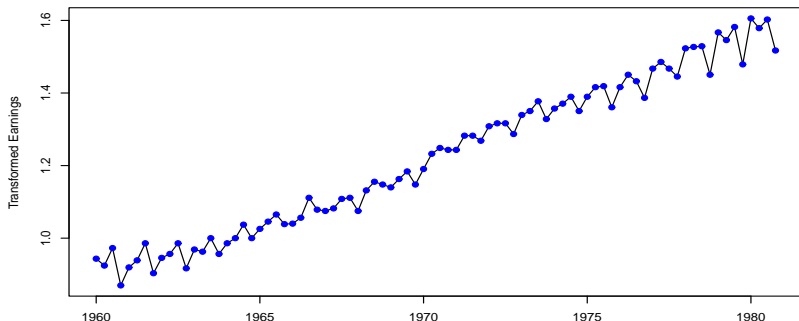
锁定区间，确定幂变换最优 $\lambda = 0.17$



```
> BoxCox.ar(JJ, lambda=seq(0, 0.35, 0.01))
```

幂变换：强生公司股票收益

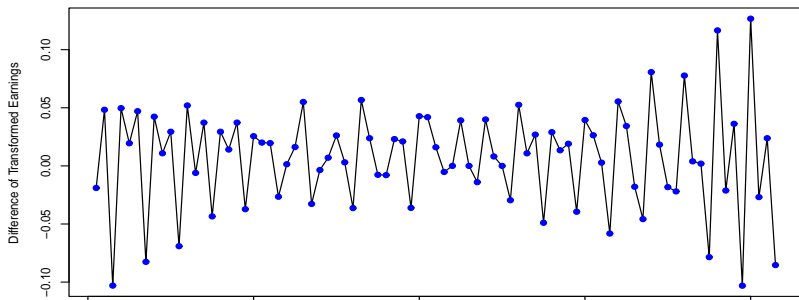
对强生公司股票收益的季度数据进行幂变换 x^λ 。



```
> win.graph(width=7, height=4, pointsize=8)
> plot(JJ^0.17, ylab='Transformed Earnings',
       xlab='Times', type='l')
> points(JJ^0.17, col='blue', type='p', pch=19)
```

幂变换：强生公司股票收益

对强生公司股票收益的季度数据进行幂变换，之后再差分



```
>wln.graph(width=7, height=4, pointsize=8)
>plot(diff(JJ^0.17,difference=1), type='l', xlab='Times',
      ylab='Difference of Transformed Earnings')
>points(diff(JJ^0.17), col='blue', type='p', pch=19)
```

时间序列分析与R 语言实战

第五章：非平稳时间序列（三）：ARIMA模型

- ① ARIMA 模型
- ② IMA(d, q) 模型
- ③ ARI(p, d) 模型
- ④ ARIMA 模型中的常数项

- ① ARIMA 模型
- ② IMA(d, q) 模型
- ③ ARI(p, d) 模型
- ④ ARIMA 模型中的常数项

ARIMA 模型

- 若一个时间序列 $\{Y_t\}$ 的 d 阶差分 $W_t = \nabla^d Y_t$ 是一个平稳的 ARMA 过程，则称 $\{Y_t\}$ 为自回归滑动平均求和模型。
- 若 W_t 服从 $\text{ARMA}(p, q)$ 模型，则称 $\{Y_t\}$ 为 $\text{ARIMA}(p, d, q)$ 过程。

令 $W_t = \nabla^d Y_t$ ，则 $\text{ARIMA}(p, d, q)$ 过程：

$$W_t = \phi_1 W_{t-1} + \phi_2 W_{t-2} + \cdots + \phi_p W_{t-p} + e_t - \theta_1 e_{t-1} - \theta_2 e_{t-2} - \cdots - \theta_q e_{t-q}$$

ARIMA 模型：延迟算子

延迟算子

延迟算子或者滞后算子，可作用于序列的时间指标，令时间向后倒退一个时期形成一个新序列，记作 B 。

- 特别地，

$$BY_t = Y_{t-1}, \quad B^m Y_t = Y_{t-m}$$

- 线性：对任何常数 a , b , c 和序列 $\{Y_t\}$, $\{X_t\}$, 有

$$B(aY_t + bX_t + c) = aBY_t + bBX_t + c$$

ARIMA 模型：延迟算子

MA(q):

- 模型:

$$Y_t = e_t - \theta_1 e_{t-1} - \theta_2 e_{t-2} - \cdots - \theta_q e_{t-q}$$

- 延迟算子表达:

$$Y_t = (1 - \theta_1 B - \theta_2 B^2 - \cdots - \theta_q B^q) e_t$$

- MA 特征多项式:

$$\theta(B) = 1 - \theta_1 B - \theta_2 B^2 - \cdots - \theta_q B^q$$

ARIMA 模型：延迟算子

AR(p):

- 模型:

$$Y_t = \phi_1 Y_{t-1} + \phi_2 Y_{t-2} + \cdots + \phi_p Y_{t-p} + e_t$$

- 延迟算子表达:

$$(1 - \phi_1 B - \phi_2 B^2 - \cdots - \phi_p B^p) Y_t = e_t$$

- AR 特征多项式:

$$\phi(B) = 1 - \phi_1 B - \phi_2 B^2 - \cdots - \phi_p B^p$$

ARIMA 模型：延迟算子

$$W_t = \phi_1 W_{t-1} + \phi_2 W_{t-2} + \cdots + \phi_p W_{t-p} + e_t - \theta_1 e_{t-1} - \theta_2 e_{t-2} - \cdots - \theta_q e_{t-q}$$

延迟算子表达：

- ARMA(p, q):

$$\phi(B)W_t = \theta(B)e_t$$

- d 阶差分：

$$W_t = \nabla^d Y_t = (1 - B)^d Y_t$$

- ARIMA(p, d, q):

$$\phi(B)(1 - B)^d Y_t = \theta(B)e_t$$

注：在平稳性条件 $\phi(B) = 0$ 中的 B 被当作方程中的虚拟变量。

ARIMA 模型：一般表达

一般表达：

$$Y_t = \psi_0 e_t + \psi_1 e_{t-1} + \psi_2 e_{t-2} + \cdots$$

延迟算子：

$$Y_t = (\psi_0 + \psi_1 B + \psi_2 B^2 + \cdots) e_t$$

ARIMA(p, d, q)：

$$\phi(B)(1 - B)^d Y_t = \theta(B) e_t$$

可得：

$$\phi(x)(1 - x)^d (\psi_0 + \psi_1 x + \psi_2 x^2 + \cdots) = \theta(x)$$

即：

$$\begin{aligned} & (1 - \phi_1 x - \phi_2 x^2 - \cdots - \phi_p x^p)(1 - x)^d (\psi_0 + \psi_1 x + \psi_2 x^2 + \cdots) \\ &= 1 - \theta_1 x - \theta_2 x^2 - \cdots - \theta_q x^q \end{aligned}$$

ARIMA 模型: $\text{ARIMA}(p, 1, q)$

例: $\text{ARIMA}(p, 1, q)$ 过程

$$W_t = \phi_1 W_{t-1} + \phi_2 W_{t-2} + \cdots + \phi_p W_{t-p} + e_t - \theta_1 e_{t-1} - \theta_2 e_{t-2} - \cdots - \theta_q e_{t-q}$$

- $W_t = \nabla Y_t = Y_t - Y_{t-1}$:

$$\begin{aligned} Y_t - Y_{t-1} &= \phi_1(Y_{t-1} - Y_{t-2}) + \phi_2(Y_{t-2} - Y_{t-3}) + \cdots \\ &\quad + \phi_p(Y_{t-p} - Y_{t-p-1}) \\ &\quad + e_t - \theta_1 e_{t-1} - \theta_2 e_{t-2} - \cdots - \theta_q e_{t-q} \end{aligned}$$

- 差分方程形式:

$$\begin{aligned} Y_t &= (1 + \phi_1)Y_{t-1} + (\phi_2 - \phi_1)Y_{t-2} + (\phi_3 - \phi_2)Y_{t-3} + \cdots \\ &\quad + (\phi_p - \phi_{p-1})Y_{t-p} - \phi_p Y_{t-p-1} \\ &\quad + e_t - \theta_1 e_{t-1} - \theta_2 e_{t-2} - \cdots - \theta_q e_{t-q} \end{aligned}$$

ARIMA 模型: $\text{ARIMA}(p, 1, q)$

AR 特征多项式:

- 序列 $\{Y_t\}$:

$$\begin{aligned}\phi(x) &= 1 - (1 + \phi_1)x - (\phi_2 - \phi_1)x^2 - (\phi_3 - \phi_2)x^3 + \cdots \\ &\quad - (\phi_p - \phi_{p-1})x^p + \phi_p x^{p+1} \\ &= 1 - x - \phi_1 x(1 - x) - \phi_2 x^2(1 - x) - \cdots - \phi_p x^p(1 - x) \\ &= (1 - \phi_1 x - \phi_2 x^2 - \cdots - \phi_p x^p)(1 - x)\end{aligned}$$

- 序列 $\{\nabla Y_t\}$:

$$\phi(x) = 1 - \phi_1 x - \phi_2 x^2 - \cdots - \phi_p x^p$$

ARIMA 模型

当 $t < -m$ 时, 取 $Y_t = 0$,

- ARIMA($p, 1, q$):

$$Y_t = \sum_{j=-m}^t W_j$$

- ARIMA($p, 2, q$):

$$Y_t = \sum_{j=-m}^t \sum_{i=-m}^j W_i = \sum_{j=0}^{t+m} (j+1) W_{t-j}$$

- 1 ARIMA 模型
- 2 IMA(d, q) 模型
- 3 ARI(p, d) 模型
- 4 ARIMA 模型中的常数项

IMA(d, q) 模型:

$$\nabla^d Y_t = e_t - \theta_1 e_{t-1} - \cdots - \theta_q e_{t-q}$$

- IMA(1, 1) 模型, 令 $W_t = \nabla Y_t = Y_t - Y_{t-1}$:

$$W_t = e_t - \theta e_{t-1}$$

- IMA(2, 2) 模型, 令 $W_t = \nabla^2 Y_t = \nabla Y_t - \nabla Y_{t-1}$:

$$W_t = e_t - \theta_1 e_{t-1} - \theta_2 e_{t-2}$$

IMA 模型: IMA(1, 1)

IMA(1, 1) 模型:

$$Y_t = Y_{t-1} + e_t - \theta e_{t-1}$$

- 用 W_t 表示:

$$W_t = e_t - \theta e_{t-1}$$

- 用白噪声表示:

$$\begin{aligned} Y_t &= \sum_{j=-m}^t W_j \\ &= e_t + (1 - \theta)e_{t-1} + (1 - \theta)e_{t-2} + \cdots + (1 - \theta)e_{-m} - \theta e_{-m-1} \end{aligned}$$

IMA 模型: IMA(1, 1)

$$Y_t = e_t + (1 - \theta)e_{t-1} + (1 - \theta)e_{t-2} + \cdots + (1 - \theta)e_{t-m} - \theta e_{t-m-1}$$

- 方差:

$$\text{Var}(Y_t) = [1 + (t + m)(1 - \theta)^2 + \theta^2]\sigma_e^2$$

则, $t \uparrow$, $\text{Var}(Y_t) \uparrow$ 。

- 协方差:

$$\text{Cov}(Y_t, Y_{t-k}) = [(1 - \theta) + (t - k + m)(1 - \theta)^2 + \theta^2]\sigma_e^2$$

IMA 模型: IMA(1, 1)

$$Y_t = e_t + (1 - \theta)e_{t-1} + (1 - \theta)e_{t-2} + \cdots + (1 - \theta)e_{-m} + \theta)e_{-m-1}$$

- 自相关函数:

$$\begin{aligned} & \text{Corr}(Y_t, Y_{t-k}) \\ &= \frac{(1 - \theta) + (t - k + m)(1 - \theta)^2 + \theta^2}{\sqrt{[1 + (t + m)(1 - \theta)^2 + \theta^2][1 + (t - k + m)(1 - \theta)^2 + \theta^2]}} \end{aligned}$$

则, 对于较大的 m 和中等的 k , $\text{Corr}(Y_t, Y_{t-k}) \approx 1$

IMA 模型: IMA(2, 2)

IMA(2, 2) 模型:

$$\nabla^2 Y_t = e_t - \theta_1 e_{t-1} - \theta_2 e_{t-2}$$

即,

$$Y_t = 2Y_{t-1} - Y_{t-2} + e_t - \theta_1 e_{t-1} - \theta_2 e_{t-2}$$

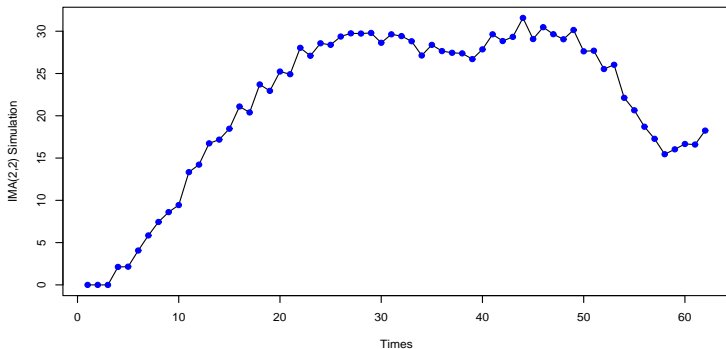
从而,

$$\begin{aligned} Y_t &= \sum_{j=0}^{t+m} (j+1) W_{t-j} \\ &= e_t + \sum_{j=1}^{t+m} \psi_j e_{t-j} - [(t+m+1)\theta_1 + (t+m)\theta_2] e_{-m-1} \\ &\quad - (t+m+1)\theta_2 e_{-m-2} \end{aligned}$$

其中, $\psi_j = 1 + \theta_2 + (1 - \theta_1 - \theta_2)j$, $j = 1, 2, 3, \dots, t+m$ 。

IMA 模型：IMA(2, 2)

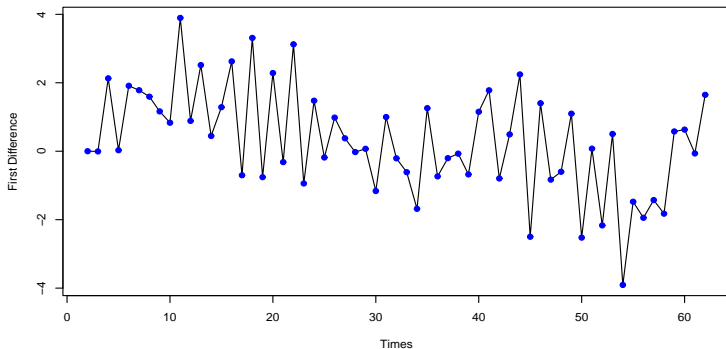
$\theta_1 = 1$, $\theta_2 = -0.6$ 的 IMA(2, 2) 序列模拟图：



```
> data(ima22.s)
> plot(ima22.s, ylab='IMA(2,2) Simulation', type='o')
```

IMA 模型：IMA(2, 2)

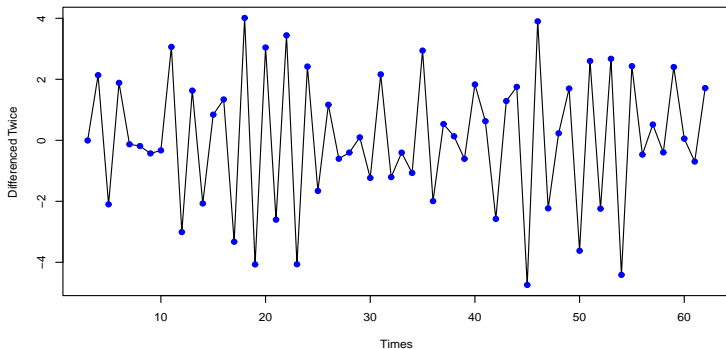
模拟的 IMA(2, 2) 序列的一次差分：



```
> plot(diff(ima22.s), ylab='First Difference', type='o')
```

IMA 模型: IMA(2, 2)

模拟的 IMA(2, 2) 序列的二次差分:



```
> plot(diff(ima22.s,difference=2),ylab='Differenced  
Twice',type='o')
```

- ① ARIMA 模型
- ② IMA(d, q) 模型
- ③ $ARI(p, d)$ 模型
- ④ ARIMA 模型中的常数项

ARI 模型

ARI(p, d) 模型:

$$W_t = \phi_1 W_{t-1} + \phi_2 W_{t-2} + \cdots + \phi_p W_{t-p} + e_t$$

其中 $W_t = \nabla^d Y_t$

- ARI(1, 1) 模型, 令 $W_t = \nabla Y_t = Y_t - Y_{t-1}$:

$$W_t = \phi W_{t-1} + e_t$$

- ARI(2, 2) 模型, 令 $W_t = \nabla^2 Y_t = \nabla Y_t - \nabla Y_{t-1}$:

$$W_t = \phi_1 W_{t-1} + \phi_2 W_{t-2} + e_t$$

ARI 模型: ARI(1, 1)

ARI(1, 1) 模型:

$$W_t = \phi W_{t-1} + e_t$$

- 用 Y_t 表示:

$$Y_t - Y_{t-1} = \phi(Y_{t-1} - Y_{t-2}) + e_t$$

或,

$$Y_t = (1 + \phi)Y_{t-1} - \phi Y_{t-2} + e_t$$

其中 $|\phi| < 1$ 。

- 用 B 表示:

$$(1 - \phi B)(1 - B)Y_t = e_t$$

- 一般表达:

$$Y_t = \psi_0 e_t + \psi_1 e_{t-1} + \psi_2 e_{t-2} + \cdots$$

ARI 模型: $ARI(1, 1)$

关系式:

$$(1 - \phi x)(1 - x)(\psi_0 + \psi_1 x + \psi_2 x^2 + \cdots) = 1$$

或,

$$[1 - (1 + \phi)x + \phi x^2](\psi_0 + \psi_1 x + \psi_2 x^2 + \cdots) = 1$$

$$\Rightarrow \begin{cases} \psi_0 = 1 \\ -(1 + \phi) + \psi_1 = 0 \\ \phi - (1 + \phi)\psi_1 + \psi_2 = 0 \\ \dots \\ \phi\psi_{k-2} - (1 + \phi)\psi_{k-1} + \psi_k = 0, \quad k \geq 2 \end{cases}$$

显示解:

$$\psi_k = \frac{1 - \phi^{k+1}}{1 - \phi}, \quad k \geq 1$$

- 1 ARIMA 模型
- 2 IMA(d, q) 模型
- 3 ARI(p, d) 模型
- 4 ARIMA 模型中的常数项

ARIMA 模型中的常数项

令 $W_t = \nabla^d Y_t$ ，则ARIMA(p, d, q) 过程：

- 若 $E(W_t) = 0$ ，

$$W_t = \phi_1 W_{t-1} + \phi_2 W_{t-2} + \cdots + \phi_p W_{t-p} \\ + e_t - \theta_1 e_{t-1} - \theta_2 e_{t-2} - \cdots - \theta_q e_{t-q}$$

- 若 $E(W_t) = \mu$ ，

$$W_t - \mu = \phi_1 (W_{t-1} - \mu) + \phi_2 (W_{t-2} - \mu) + \cdots + \phi_p (W_{t-p} - \mu) \\ + e_t - \theta_1 e_{t-1} - \theta_2 e_{t-2} - \cdots - \theta_q e_{t-q}$$

或引入常数项，

$$W_t = \theta_0 + \phi_1 W_{t-1} + \phi_2 W_{t-2} + \cdots + \phi_p W_{t-p} \\ + e_t - \theta_1 e_{t-1} - \theta_2 e_{t-2} - \cdots - \theta_q e_{t-q}$$

ARIMA 模型中的常数项

若 $E(W_t) = \mu$, 常数项为 θ_0 ,

$$W_t = \theta_0 + \phi_1 W_{t-1} + \phi_2 W_{t-2} + \cdots + \phi_p W_{t-p} \\ + e_t - \theta_1 e_{t-1} - \theta_2 e_{t-2} - \cdots - \theta_q e_{t-q}$$

求常数均值,

$$\mu = \theta_0 + (\phi_1 + \phi_2 + \cdots + \phi_p)\mu \\ \Rightarrow \mu = \frac{\theta_0}{1 - \phi_1 - \phi_2 - \cdots - \phi_p} \\ \text{或 } \theta_0 = \mu(1 - \phi_1 - \phi_2 - \cdots - \phi_p)$$

ARIMA 模型中的常数项

例：含常数项的 IMA(1, 1)

$$Y_t = Y_{t-1} + \theta_0 + e_t - \theta e_{t-1}$$

令 $W_t = Y_t - Y_{t-1}$,

$$W_t = \theta_0 + e_t - \theta e_{t-1}$$

从而

$$Y_t = e_t + (1-\theta)e_{t-1} + (1-\theta)e_{t-2} + \cdots + (1-\theta)e_{-m} - \theta e_{-m-1} + (t+m+1)\theta_0$$

等价于

$$Y_t = Y'_t + \beta_0 + \beta_1 t$$

其中 Y'_t 是不含常数项的 IMA(1, 1) 序列。

注：含常数项的 IMA(1, 1) 多了个线性确定时间趋势项。

ARIMA 模型中的常数项

若 $E(W_t) = E(\nabla^d Y_t) \neq 0$, 则 ARIMA(p, d, q) 过程:

$$Y_t = Y'_t + \mu_t$$

- Y'_t 是不含常数项的 ARIMA(p, d, q) 序列
- μ_t 是 d 阶确定趋势多项式

注: $d = 2, \theta_0 \neq 0$ 时, 为二次确定时间趋势。